

بررسی کانی شیمی و شرایط حرارت و فشار تبلور سنگ‌های کوارتز-دیوریت منطقه تخت سلیمان در شمال باختر ایران

نوشته: رباب حاجی علی اوغلی^{*}، احمد جهانگیری^{*}، محسن مؤذن^{*}، جایلز دروپ^{**} و رومان بوسکو^{***}

^{*} دانشگاه تبریز، دانشکده علوم طبیعی، گروه زمین‌شناسی، تبریز، ایران

^{**} دانشکده علوم زمین، دانشگاه منچستر، انگلستان

^{***} مرکز تحقیقات علوم زمین، دانشگاه پندام، آلمان

تاریخ پذیرش: ۱۳۸۶/۱۱/۰۱ تاریخ دریافت: ۱۳۸۶/۰۲/۱۹

چکیده

سنگ‌های آذرین با ترکیب گرانودیوریت، مونزودیوریت و کوارتز-دیوریت دارای برونزدهای کوچک و پراکنده در داخل مجتمعه دگرگونی‌های تخت سلیمان هستند. مرز بین این سنگ‌های با سنگ‌های دگرگونی قدیمی واضح است. پلاژیوکلاز و هورنبلند عمده‌ترین کانی‌های تشکیل دهنده سنگ‌های آذرین مورد مطالعه را تشکیل می‌دهند. تیتانیت و اپیدوت در مقادیر فرعی حضور دارند. ترکیب شیمی کانی‌های پلاژیوکلاز، هورنبلند، کلینوپیروکسن و اپیدوت در سنگ‌های کوارتز-دیوریت توسط تجزیه EPMA تعیین شده است. مقادیر بالای Mg و Si همراه با مقادیر پایین Ti در ترکیب شیمی حاشیه کانی‌های آمفیبول، احتمالاً به دلیل تأثیر فرایندهای نیمه سالیدوس در طی سردشدنگی این سنگ‌ها است. شرایط تعادلی دمای تبلور بر اساس ترکیب شیمی کانی‌های پلاژیوکلاز و آمفیبول همزیست و همچنین با استفاده از حرارت سنج مقدار Ti در ترکیب آمفیبول مشخص شد. شرایط فشار تبلور و ژرفای جایگیری ماقمای تشکیل دهنده بر اساس ترکیب شیمی کانی‌های کلینوپیروکسن تعیین شد. مقادیر محاسبه شده دما و فشار تبلور سنگ‌های کوارتز-دیوریت مجتمعه تخت سلیمان به ترتیب در حدود 820 ± 75 °C و Akbar به دست آمد. بر اساس ترکیب شیمی کانی‌های کلینوپیروکسن تعیین شده در سنگ‌های کوارتز-دیوریت، ترکیب ماقمای اولیه نیمه قلایابی با ویژگی‌های type-I تعیین می‌شود.

کلیدواژه‌ها: کمپلکس تخت سلیمان، دیوریت، ترکیب ماقمای، ترکیب شیمی کانی‌ها، حرارت سنجی.

۱- مقدمه

پیچیده، توسط پژوهشگران مختلف در زون‌های ساختاری متفاوت ایران مرکزی (بوی، ۱۳۵۵)؛ زون سلطانیه- میشو (افتخارنژاد، ۱۳۵۹) و محل برخورد سه زون ساختاری سنتدج- سیرجان، ایران مرکزی و البرز- آذربایجان (باباخانی و قلمقاش، ۱۳۷۱) واقع شده است؛ به تازگی Gilg et al. (2006) در مطالعات خود در منطقه تخت سلیمان، آن را به زون ساختاری سنتدج- سیرجان نسبت داده‌اند. انواع سنگ‌ها در کمپلکس تخت سلیمان عبارتند از سنگ‌های دگرگونی فیلیت، اسلیت، شیست سبز، اکینولیت شیست، میکاشیست، گنیس، آمفیبولیت، کالک- سیلیکات و متاولترامافیک و گرانیتوییدهای S-type و I-type، گرانیتوییدی آق آذرین متفاوت بوده و متعلق به زمان‌های مختلف از پرکامبرین (گنیس گرانیتوییدی آق کند؛ Stockli, 2004)، تاترشیری (توده‌های گرانیتویید؛ حاجی علی اوغلی، ۱۳۸۶) است.

سن ا نوع سنگ‌های دگرگونی و آذرین مجتمعه تخت سلیمان تا حال به طور دقیق مشخص نشده است. سن پرکامبرین نسبت داده شده به سنگ‌های دگرگونی (باباخانی و قلمقاش، ۱۳۷۱)، بر اساس شواهد فسیل‌شناسی، چینه‌شناسی و ترکیب سنگ‌شناسی است. به تازگی (2004) Stockli با استفاده از سن پایی زیرکن (U/Pb)، سن نفوذ گنیس‌های گرانیتی ماهنشان را ۵۶۰ میلیون سال پیش تعیین کرده است. علوی و همکاران (۱۳۶۱) سنگ‌های گرانیتوییدی منطقه تکاب را به پرکامبرین (معادل با گرانیت دوران) نسبت داده‌اند. باباخانی و قلمقاش (۱۳۷۱)، سن نسیی سنگ‌های آذرین کمپلکس تخت سلیمان را مزوژوییک در نظر گرفته‌اند. با در نظر گرفتن این که در جنوب منطقه رسوابات ماسه سنگی لالون توسط توده‌های نفوذی قطع شده و رسوابات آهکی سازند قم به سن الیگومیوسن (با یک پی سنگ کنگلوماری روش رنگ) در همیری بالایی این سنگ‌ها مشاهده می‌شوند، جایگیری سنگ‌های آذرین منطقه مورد مطالعه را می‌توان به زمان‌های پس از کامبرین تا پیش از الیگو-میوسن نسبت داد. برونزد سنگ‌های آذرین مورد مطالعه به صورت توده‌های نفوذی پراکنده و کوچک در داخل سنگ‌های آذرین آمفیبولیت و متابازیت مشاهده می‌شود. ترکیب اصلی

مجموعه تخت سلیمان در شمال خاور تکاب در حد فاصل عرض‌های جغرافیایی ۳۰°، ۳۷° و ۳۶° شمالی و طول‌های جغرافیایی ۴۵° و ۴۷° و ۴۸° خاوری جای دارد. این مجموعه دارای طیف سنگ‌شناسی و سیعی از انواع سنگ‌های دگرگونی متابازیت، متاپلیت، کالک- سیلیکات و متاولترامافیک و گرانیتوییدهای S-type و I-type است. سن توده‌های آذرین متفاوت بوده و متعلق به زمان‌های مختلف از پرکامبرین (گنیس گرانیتوییدی آق کند؛ Stockli, 2004)، تاترشیری (توده‌های گرانیتویید؛ حاجی علی اوغلی، ۱۳۸۶) است. سنگ‌های آذرین مورد مطالعه به صورت پراکنده در داخل سنگ‌های دگرگونی متابازیت بروزد دارند. در این پژوهش روابط سنگ‌نگاری و کانی‌شناسی این سنگ‌ها بررسی شده و ترکیب شیمی کانی‌های این سنگ‌های کوارتز-دیوریت توسط تجزیه EPMA مشخص شده است. شرایط حرارت و فشار تبلور سنگ‌های کوارتز-دیوریت در طی مرحله ماقمایی و شرایط نیمه سالیدوس با استفاده از ترکیب شیمی کانی‌های همزیست، تعیین شد.

با در نظر گرفتن معیارهای کانی‌شناسی و ترکیب شیمی کانی‌های مافیک در سنگ‌های آذرین مورد مطالعه، منشأ این سنگ‌ها از نوع S-type گرانیتوییدی می‌شود. ماهیت ماقمای تشکیل دهنده این سنگ‌ها با استفاده از ترکیب کانی‌های کلینوپیروکسن در سنگ‌های کوارتز-دیوریت، نیمه قلایابی تعیین می‌شود. نتایج دقیق تر نیاز به مطالعات ایزوتوپی و داده‌های ژئوشیمیابی بیشتر در انواع سنگ‌های آذرین منطقه موردنظر دارد. نتایج حاصل از این پژوهش همراه با نتایج مطالعات دقیق ژئوشیمیابی و سن سنجی ایزوتوپی انواع سنگ‌های آذرین و دگرگونی کمپلکس تخت سلیمان (حاجی علی اوغلی، ۱۳۸۶) در بازسازی جایگاه ژنودینامیک گذشته و حوادث تکتونو- ماقمایی منطقه تکاب در شمال باختر ایران مفید خواهد بود.

۲- زمین‌شناسی منطقه

کمپلکس تخت سلیمان از لحاظ داشتن ویژگی‌های ساختاری و سنگ‌شناسی

طی تبلور ماگمایی و شرایط سردشده‌گی نیمه سالیدوس (sub-solidus) است. کانی‌های تجزیه شده شامل پلازیوکلاز، آمفیبول، کلینوپیروکسن، اپیدوت، تیتانیت و ایلمینیت است. نسبت $\text{Fe}^{3+}/\text{Fe}^{2+}$ در کانی‌های فرمونیزین با استفاده از موازنۀ کانیون‌ها در ساختمان کانی‌ها (Droop, 1987) محاسبه شده است. داده‌های معرف تجزیه میکروپریوب کانی‌ها در سنگ‌های کوارتز-دیوریت در جدول ۱ نشان داده شده است. علاوه اختصاری کانی‌ها از (Kretz, 1983) است.

۱-۴. فلدسپار: فرمول ساختمانی پلازیوکلاز بر اساس ۳ کاتیون و ۱۸ اکسیژن محاسبه شده است (جدول ۱). ترکیب پلازیوکلاز در مرکز ($X_{\text{An}}=0.55$) متفاوت از ترکیب حاشیه ($X_{\text{An}}=0.35$) است. مقدار K_2O در ترکیب کانی‌های پلازیوکلاز تجزیه شده بسیار کم ($0.030-0.050 \text{ a.p.f.u.}$) است. ترکیب شیمی کانی‌های پلازیوکلاز تجزیه شده در سنگ‌های کوارتز-دیوریت-آندرزین واقع می‌شوند (شکل ۲).

۲-۴. آمفیبول: فرمول ساختمانی آمفیبول به ازای ۲۳ اکسیژن و ۱۳ کاتیون بدون منظور کردن کاتیون‌های Ca , Na و K (Leake et al., 1997) محاسبه شده است. جدول ۱ ترکیب شیمیابی کانی‌های آمفیبول معرف در سنگ‌های کوارتز-دیوریت منطقه تخت سلیمان را نشان می‌دهد. در نمودار (a.p.f.u.) ($\text{Na}+\text{K}$) در مقابله Leake et al. (1997) (Si(a.p.f.u.)) ترکیب شیمی اغلب کانی‌های آمفیبول در محدوده چرماکیت و هورنبلند واقع می‌شوند (شکل ۳). مقادیر بالای Mg و Si همراه با مقادیر کم Na و Al در ترکیب اکتینولیت در اطراف هورنبلند و نیز لکه‌های پراکنده اکتینولیت در داخل کلینوپیروکسن، به دلیل تبلور نیمه سالیدوسی در شرایط سردشده‌گی است.

۳-۴. کلینوپیروکسن: ترکیب کلینوپیروکسن بر اساس ۴ کاتیون و ۶ اکسیژن محاسبه شده است $[\text{M}_1\text{M}_2\text{T}(2)\text{Al}^{\text{IV}}/\text{M}_1\text{M}_2\text{O}]$ در مقادیر ($0.30-0.44 \text{ a.p.f.u.}$) در جایگاه چهاروجهی (T) است. تشکیل دهنده‌های Cr , Ti , Fe , Ti , Fe , Al^{VI} و Mg به همراه مقادیری از Ca و Na به علاوه باقیمانده Mg در جایگاه M_1 هستند.

ترکیب کلینوپیروکسن در هسته و حاشیه آن کم و بیش یکنواخت است. مقادیر Ti ($0.00-0.26 \text{ wt\%}$) و Na ($0.22-0.77 \text{ wt\%}$) است. ترکیب شیمیابی کانی‌های کلینوپیروکسن تجزیه شده در نمودار $\text{En}-\text{Fs}-\text{Di}-\text{Hd}$ (شکل ۴). ترکیب اعضای نهایی در کانی‌های کلینوپیروکسن تجزیه شده به صورت $\text{Cr}_{0.23-0.77}\text{Hd}_{0.17-0.24}\text{Ca}_{0.00-0.20}\text{Ts}_{0.00-0.20}\text{Di}_{0.00-0.20}$ است.

۴-۴. اپیدوت: فرمول اپیدوت برای ۸ کاتیون و ۱۲/۵ اکسیژن محاسبه شده است. تمام Fe در ترکیب اپیدوت‌های تجزیه شده به عنوان Fe^{3+} در نظر گرفته شده است. در مقادیر جزیی (0.06 a.p.f.u.) در جایگاه چهاروجهی قرار گرفته است. ترکیب اعضا نهایی کانی‌های اپیدوت تجزیه شده به طور متوسط $\text{Cz}_{0.13}\text{Ep}_{0.79}\text{Fe}_{0.01}\text{Ep}_{0.11}$ است. نسبت $(\text{Al}^{\text{VI}}+\text{Fe}^{3+})/\text{Al}^{\text{VI}}$ در اپیدوت برابر با $0.69/0.69$ است.

۵-۴. تیتانیت: تیتانیت کانی فرعی مهم در سنگ‌های کوارتز-دیوریت است. فرمول تیتانیت بر اساس ۳ کاتیون و ۱۵ اکسیژن محاسبه شده است $\text{Si}_x\text{M}_y\text{TO}_4(\text{O},\text{OH},\text{F})_z$.

به طور ایده‌آل جایگاه چهاروجهی (T) را پر کرده است. مقدار Al_2O_3 کم، در حدود 0.06 a.p.f.u. است. مقادیر کم Al^{VI} و Fe^{3+} در جایگاه (M_2)، به دلیل جانشینی کاتیونی Ti است. جدول ۱ فرمول ساختاری و ترکیب شیمیابی کانی‌های تیتانیت در سنگ‌های کوارتز-دیوریت منطقه تخت سلیمان را نشان می‌دهد. ترکیب شیمی کانی‌های تیتانیت تجزیه شده در سنگ‌های مورد مطالعه کم و بیش یکنواخت است.

۶-۴. ایلمینیت: فرمول ایلمینیت بر اساس ۱۳ اکسیژن و ۲ کاتیون محاسبه شده است.

این توده‌ها گرانودیوریت، مونزودیوریت، کوارتز مونزودیوریت و کمتر گرانیت و کوارتزدیوریت است (برای مثال توده‌های نفوذی کوچک کوارتزدیوریت در اطراف روستای قره‌مناز، شکل ۱). سنگ‌های مورد مطالعه در نمونه‌های دستی به رنگ خاکستری روشن تا تیره بوده و دارای بافت دانه‌ای دانه متوسط تا دانه درشت هستند. پلازیوکلاز+هورنبلند±کوارتز عمده‌ترین کانی‌های این سنگ‌ها را تشکیل می‌دهند. کانی‌های آمفیبول در نمونه‌های دستی مشخص بوده و طول آنها در بعضی از نمونه‌ها تا ۲ سانتی متر می‌رسد. کلینوپیروکسن محدود به سنگ‌های کوارتز-دیوریت بوده و اندازه آن تا چند میلی متر می‌رسد.

۳- مطالعات سنگ‌شناختی

هدف اصلی از مطالعه سنگ‌شناختی انواع سنگ‌های آذرین انتخاب نمونه‌های مناسب جهت مطالعات کانی شیمی و تعیین شرایط حرارت و فشار تبلور آنها است.

۳-۱. کوارتز-دیوریت: پلازیوکلاز ($45-55\%$), کلینوپیروکسن ($20-25\%$) و هورنبلند (30%) کانی‌های اصلی تشکیل دهنده این سنگ‌ها هستند. اپیدوت و تیتانیت فازهای فرعی هستند. کوارتز در مجموعه کانی اغلب نمونه‌ها حضور دارد (7%). پلازیوکلاز در اندازه ۴ میلی متر دارای بافت پویکلیتیک با میان‌بارهای فراوان از کلینوپیروکسن است. اندازه کانی‌های کلینوپیروکسن همیزیست با پلازیوکلاز با بافت دانه‌ای تا 0.3 mm میلی متر می‌رسد. برخی از بلورهای کلینوپیروکسن ماکل دوقلویی دارند. کلینوپیروکسن در حاشیه و نیز به موازات رخ به آمفیبول (اورالیت) تجزیه شده است. آمفیبول ماگمایی در تعادل بافتی با کانی‌های پلازیوکلاز در زمینه دانه‌ای مشاهده می‌شود. اپیدوت ثانویه به صورت لکه‌های پراکنده در داخل پلازیوکلاز تأثیر می‌گذارد. تیتانیت اولیه و شکل دار تا اندازه 0.35 mm میلی متر در زمینه دانه‌ای تشکیل شده است.

۳-۲. گرانوفدیوریت: مجموعه کانی‌های اصلی در این سنگ‌ها شامل پلازیوکلاز ($50-55\%$), فلدسپار قلیابی ($20-25\%$), هورنبلند ($10-15\%$) و کوارتز ($30-40\%$) است. اپیدوت و تیتانیت شکل دار در مقادیر فرعی تشکیل شده‌اند. زیرکن، آپاتیت و کانی‌های تیره فازهای کمیاب هستند. بافت معمول در این سنگ‌ها دانه‌ای (گرانولار) دانه متوسط تا دانه درشت است. کانی هورنبلند دارای میان‌بار زیرکن و کانی‌های تیره است. اکتینولیت در شرایط نیمه سالیدوس در حاشیه هورنبلند تشکیل شده است. پلازیوکلاز تا اندازه 0.45 mm میلی متر دارای ماکل پلی سنتیک است. فلدسپار قلیابی بی‌شکل تا اندازه 0.2 mm میلی متر در زمینه دانه‌ای مشاهده می‌شود.

۳-۳. کوارقر- مونزودیوریت: آمفیبول ($40-45\%$), پلازیوکلاز ($50-55\%$), فلدسپار قلیابی ($15-17\%$) تشکیل دهنده‌های اصلی سنگ‌های کوارتز-مونزودیوریت هستند. آمفیبول تا اندازه 0.75 mm میلی متر دارای ماکل دوقلویی است. پلازیوکلاز ($2/5 \text{ mm}$ میلی متر)، ماکل پلی سنتیک داشته و اغلب به کلسیت تجزیه شده است. تیتانیت تا اندازه 0.2 mm میلی متر در مقادیر فرعی است.

۴- ترکیب شیمیابی کانی‌ها

ترکیب کانی‌های آذرین در نمونه معرف از سنگ‌های کوارتز-دیوریت که روابط بافتی و کانی‌شناسی آن پیش‌تر به طور دقیق مشخص شده بود توسط تجزیه میکروپریوب کانی‌ها در انواع سنگ‌های آذرین کمپلکس تخت سلیمان، تعیین ترکیب شیمی کانی‌ها، ماهیت مگمای اولیه، محاسبه فعالیت اعضا نهایی به منظور تخمین شرایط فشار و دمای تبلور سنگ‌ها و بررسی تحولات P-T این سنگ‌ها در

کوارتز-دیوریت با استفاده از مقدار Ti در هسته کانی‌های هورنبلند تجزیه شده بر اساس کالیبراسیون (Otten, 1984) 76°C تعیین شد.

۲-۵. ترکیب ماقمها

مقدار بالای SiO_2 از ویژگی‌های ماقمها بر اساس ترکیب I-type است. مقدار فوگاسیته اکسیژن در ترکیب ماقمای اولیه، با استفاده از ترکیب شیمی کانی‌های کلینوپروکسن تجزیه شده در سنگ‌های کوارتز-دیوریت در نمودار $\text{Na}+\text{Al}^{[\text{IV}]}$ - $\text{Al}^{[\text{VI}]}+2\text{Ti}+\text{Cr}$ (Schweitzer et al., 1979) تعیین شد (شکل ۵). برخی از شواهد کانی‌شناسی ترکیب I-type گرانیتوییدهای کمپلکس تخت سلیمان عبارتند از:

(۱) در سنگ‌های آذرین منطقه مورد مطالعه آمفیبول عمده‌ترین کانی مافیک است. آمفیبول فاز فرومینزین اصلی در توده‌های آذرین I-type است در صورتی که بیوتیت در هر دو نوع گرانیتوییدهای I-type و S-type تشکیل می‌شود (Whalen and Chappell, 1988; Vyhnař et al., 1991).

(۲) مقادیر مواد پلازیوکلаз در سنگ‌های مورد مطالعه بیشتر از کوارتز و فلدسپار قلیایی است.

(۳) در سنگ‌های مورد مطالعه تیتانیت و اپیدوت در مقادیر فرعی در تعادل با فازهای اصلی پلازیوکلاز و هورنبلند در بافت دانه‌ای تشکیل شده‌اند. تیتانیت و اپیدوت با منشأ ماقمایی فازهای فرعی معمول در گرانیتوییدهای I-type هستند (Whalen and Chappell, 1988; Vyhnař et al., 1991).

(۴) کانی‌های غنی از Al مانند گارنت و مسکوویت و نیز بیوتیت در مجموعه کانی‌های سنگ‌های مورد مطالعه حضور ندارند. مقادیر Ti و Al در ترکیب شیمی کلینوپروکسن را بطه مستقیم با فعالیت سیلیس ماقمای تشکیل دهنده دارد (Kushiro and Le Bas, 1962). بر اساس مطالعات (Verhoogen, 1962)، کانی‌های کلینوپروکسن با مقادیر کم از ماقمها غنی از سیلیس تشکیل شده‌اند. به نظر می‌رسد مقادیر کم Ti و Al و مقادیر بالای Si در کانی‌های کلینوپروکسن تجزیه شده در سنگ‌های کوارتز-دیوریت تخت سلیمان، ویژگی نیمه قلیایی این سنگ‌ها را نشان می‌دهد. نسبت بالای Si و مقادیر کم Al و Ti در ماقمها نیمه قلیایی در مقایسه با انواع قلیایی و فوق قلیایی به دلیل فعالیت بالای سیلیس a_{SiO_2} در ترکیب ماقمای نیمه قلیایی است (Kushiro and Le Bas, 1962)، که باعث افزایش مقدار Si و کاهش Al در جایگاه چهاروجه کلینوپروکسن شده و در نتیجه تفاوت باریونی توسط مقادیر کم Ti در جایگاه هشت‌وجهی جبران شده است.

ترکیب کانی‌های کلینوپروکسن در نمودار Al_2O_3 - CaO (شکل ۶-a) موقوعت خطوط طجداننده ماقمای، در محدوده نیمه قلیایی واقع می‌شوند (Le Bas, 1962). ترکیب ماقمای در سنگ‌های نیمه قلیایی، قلیایی و تولئیتی بر اساس (Le Bas, 1962) است. ترکیب ماقمای در سنگ‌های برسی شده همچنین در نمودار (a.p.f.u.) در شکل ۶-b نشان داده شده است. ترکیب بیشتر کانی‌های تجزیه شده در محدوده های تولئیتی و نیمه قلیایی واقع می‌شوند.

۶- نتیجه‌گیری

- پلازیوکلاز و هورنبلند عمده ترین کانی‌های تشکیل دهنده سنگ‌های گرانیدویریت، مونزودیوریت و کوارتز مونزودیوریت در کمپلکس تخت سلیمان هستند. کلینوپروکسن در مقادیر فراوان در کوارتز-دیوریت تشکیل شده است.
- فراوانی هورنبلند و پلازیوکلاز، بود کانی‌های آلومینی دار، حضور اپیدوت ماقمایی، تیتانیت شکل دار و کانی‌های تیره شامل ایلمینیت و مگنتیت با مقادیر فرعی برخی از شواهد کانی‌شناسی دال بر منشأ I-type این سنگ‌ها هستند. مقادیر

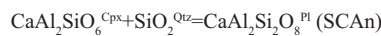
تمام Fe در ترکیب ایلمینیت‌های تجزیه شده به عنوان Fe^{3+} در نظر گرفته شده است. ترکیب شیمیابی ایلمینیت در سنگ‌های کوارتز-دیوریت منطقه مورد مطالعه به صورت $\text{Prh}_{63}\text{Ilm}_{36}$ است. اعضای نهایی ایلمینیت (Pyrophanite) (MnTiO_3) و (FeTiO_3) تشکیل دهنده‌های اصلی کانی‌های ایلمینیت تجزیه شده در سنگ‌های مورد مطالعه هستند.

۵- بحث

۵-۱. زمین‌دمافشار سنگی (ژئوفرموبارومتری)

همان‌طوری که پیش‌تر اشاره شد، پاراژنر کانی‌های مهم در سنگ‌های کوارتز-دیوریت تخت سلیمان عبارتند از: پلازیوکلاز + هورنبلند + کلینوپروکسن ± کوارتز.

فشارسنگی (بارومتری) سنگ‌های کوارتز-دیوریت با استفاده از ترکیب کلینوپروکسن بر اساس روش McCarthy and Patiño Douce (1998) انجام گرفت. دو معیار مهم برای استفاده از این فشارسنگ در سنگ‌های کوارتز-دیوریت تحت سلیمان عبارتند از (a) پاراژنر کانی‌های همیزیست مناسب (b) شرایط P-T منطبق با معیارهای استفاده شده برای کالیبراسیون فشارسنگ McCarthy and Patiño Douce (1998) به این صورت است:



McCarthy & Patiño Douce (1998) با استفاده از کالیبراسیون از رابطه زیر محاسبه شده است:

$$P(\text{kbar}) = \left[\frac{5.066 \pm 0.760 + [(1300 \pm 800) / T] - \text{Ln}k.T}{276 \pm 16} \right] \pm 2.5$$

$$K = \frac{a_{\text{Al}}^{\text{Pl}}}{a_{\text{Cpx}}^{\text{Cpx}}} / \frac{a_{\text{Al}}^{\text{Qtz}}}{a_{\text{Cats}}^{\text{Cats}}}$$

فعالیت کلینوپروکسن بر اساس مدل ایده‌آل محاسبه شد. جدول ۲ روابط کسر مولی و فعالیت ایده‌آل برای فشارسنگ کلینوپروکسن (McCarthy and Patiño Douce, 1998)، را نشان می‌دهد. فشار محاسبه شده کم و بیش برابر با ۸ kbar است که در این صورت با جایگیری توده‌های نفوذی در ژرفای حدود ۲۴ km مطابقت دارد.

مطالعات (Zen and Hammarstrom, 1984, 1988) و Naney (1983) نشان داده است اپیدوت در سنگ‌های آذرین در فشار ۶-۸ kbar متبوله می‌شود. با در نظر گرفتن حضور اپیدوت ماقمایی در پاراژنر سنگ‌های کوارتز-دیوریت مورد مطالعه، مقادیر فشار محاسبه شده با استفاده از کالیبراسیون McCarthy and Patiño Douce (1998) قابل قبول به نظر می‌رسد. بر اساس فشار محاسبه شده، ژرفای جایگیری این سنگ‌ها را به احتمال بتوان در حدود ۱۸-۲۴ km در نظر گرفت. هورنبلند فراوان‌ترین فاز فرومینزین در سنگ‌های کوارتز-دیوریت تخت سلیمان است. حرارت سنگی Blundy and Holland (1990) سنگ‌های کوارتز-دیوریت بر اساس حرارت سنجهای (Blundy and Holland, 1990) و Otten (1984) انجام شده است. حرارت سنگی با استفاده از جانشینی Ca در ترکیب هسته کانی‌های هورنبلند تجزیه شده بیشتر از مقادیر آن در ترکیب حاشیه است. حرارت سنگی سنگ‌های کوارتز-دیوریت با استفاده از ترکیب هسته کانی‌های تجزیه شده پلازیوکلاز و هورنبلند همیزیست دماهای $T=820 \pm 75^{\circ}\text{C}$ را مشخص می‌کند (مقدار خطأ بر اساس کالیبراسیون (Blundy and Holland, 1990) مشخص می‌باشد) است. مقادیر Ti در ترکیب کانی‌های آمفیبول تجزیه شده در حاشیه کمتر از هسته است. دمای تبلور ماقمایی و شرایط نیمه سالیدوس سنگ‌های

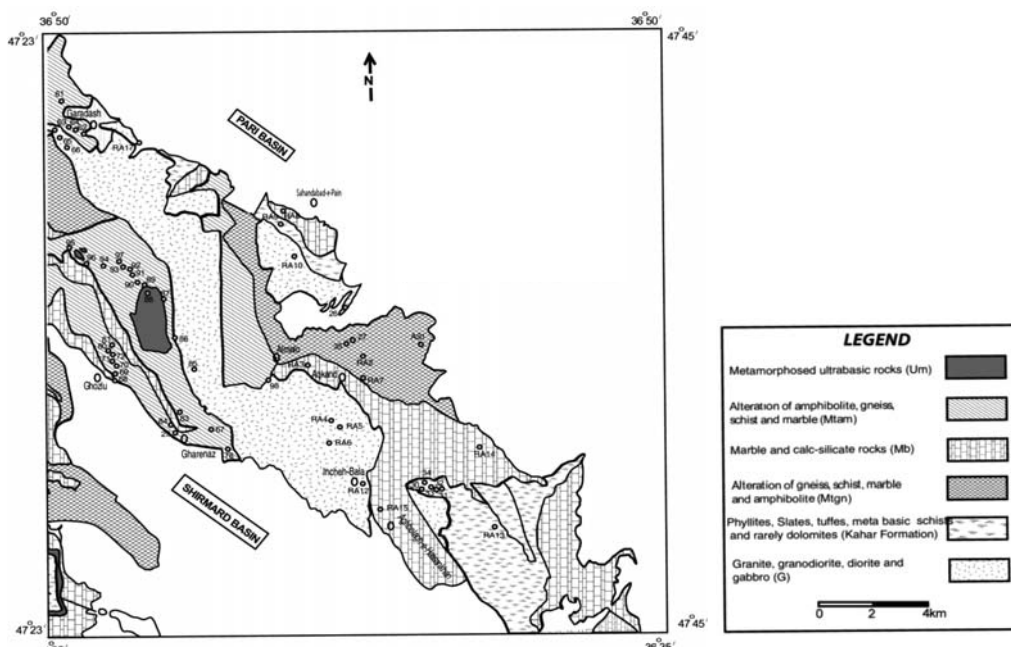
اساس ترکیب شیمی هسته کانی‌های در حال تعادل به ترتیب $\text{SiO}_2 \pm 75^\circ\text{C}$ و $\sim 8\text{kbar}$ محاسبه شد. مقادیر فشار محاسبه شده، جایگیری این سنگ‌ها در ژرفای ۲۴ کیلومتر را پیشنهاد می‌کند. مقادیر دما در شرایط نیمه سالیدوس با استفاده از ترکیب شیمی حاشیه کانی‌های آمفیبول و پلاژیوکلاز در حدود 76°C تعیین شد.

سپاسگزاری

از پروفسور R. Oberhansli در دانشگاه پتسدام آلمان به خاطر استفاده از دستگاه EPMA برای تجزیه نمونه‌ها تشکر می‌کنیم. همچنین از داوران محترم فصلنامه علوم زمین به خاطر ارائه نظرات سازنده قدردانی می‌شود.

بالای فوگاسیته اکسیژن بر اساس ترکیب شیمی کانی‌های کلینوپیر و کسن در نمودار کاتیونی ($\text{Na}+\text{Al}^{IV}$) در برابر ($\text{Al}^{IV}+2\text{Ti}+\text{Cr}$) و همچنین ترکیب غنی از ایلمنیت (FeTiO_3) و Pyrophanite (MnTiO_3) کانی‌های ایلمنیت تجزیه شده در سنگ‌های آذربین مورد مطالعه، ترکیب I-type ماقمای تشکیل دهنده را تأیید می‌کنند. به نظر می‌رسد مقادیر کم Al و مقادیر بالای Si در ترکیب کانی‌های کلینوپیر و کسن تجزیه شده، مرتبط با ترکیب نیمه‌قلایابی ماقمای اولیه باشد.

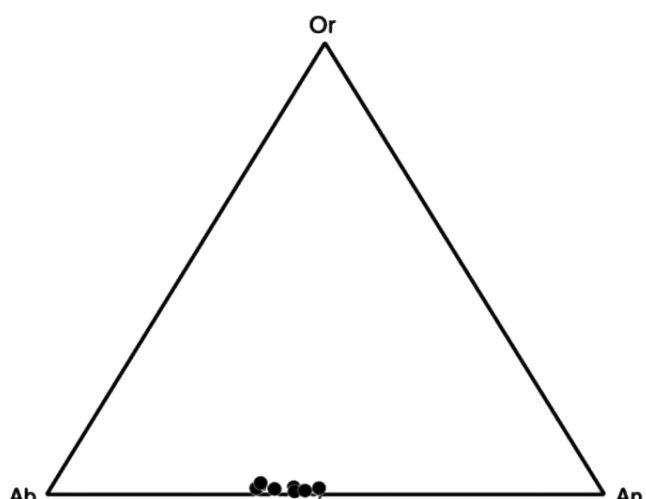
- مقادیر بالای Mg و همراه با مقادیر پایین Ti در ترکیب شیمی حاشیه کانی‌های آمفیبول، سرد شدگی این سنگ‌ها در طی فرایندهای نیمه سالیدوس را نشان می‌دهد. شرایط P-T ماگمایی و نیمه سالیدوس سنگ‌های کوارتز-دیوریت تخت سلیمان با استفاده از ترکیب شیمی کانی‌های همزیست مشخص شد. دما و فشار تبلور اولیه بر



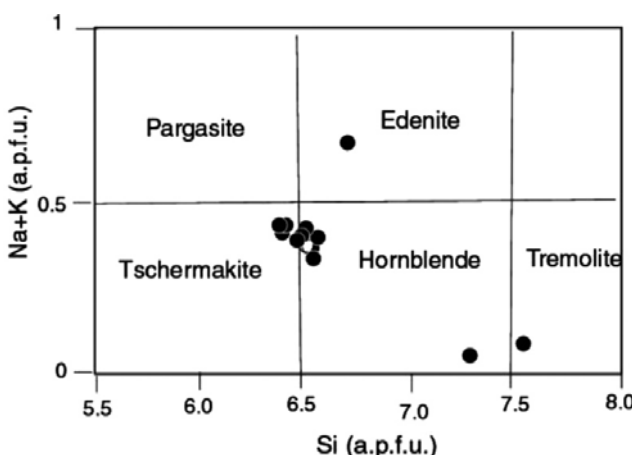
شکل ۱- نقشه زمین‌شناسی کمپلکس تخت سلیمان. اقتباس از نقشه زمین‌شناسی تخت سلیمان (باباخانی و قلمقاش، ۱۳۷۱) و نقشه زمین‌شناسی ماهنشان (طفی، ۱۳۸۰) با تغییرات.

جدول ۱- ترکیب شیمی معرف کانی‌های تجزیه شده در سنگ‌های کوارتز-دیوریت تخت سلیمان

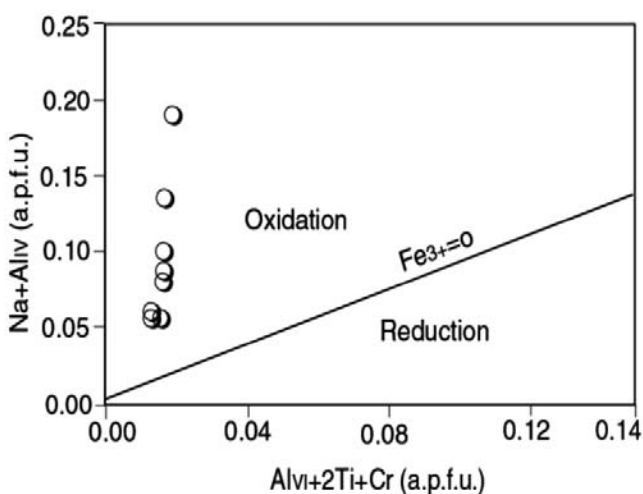
Mineral	Orz-diorite (sample R29-gb)	Am	Am	Pl	Pl	Cpx	Cpx	Ttn	Ilm
SiO_2	44.40	46.07	55.74	58.47	50.49	54.21	29.92	0.00	
TiO_2	5.38	0.58	0.00	0.02	0.26	0.24	36.80	53.01	
Al_2O_3	7.44	10.57	29.14	27.23	6.43	0.35	1.54	0.00	
Cr_2O_3	0.19	0.19	0.06	0.00	0.16	0.01	0.00	0.00	
FeO	12.97	14.23	0.08	0.06	13.48	6.57	1.47	29.97	
MnO	0.26	0.27	0.01	0.01	0.32	0.31	0.10	17.05	
MgO	11.84	13.45	0.00	0.00	15.59	15.51	0.00	0.03	
CaO	14.30	12.20	10.35	8.37	12.66	24.52	27.05	0.00	
Na_2O	0.72	1.20	6.04	7.49	0.72	0.22	0.00	0.00	
K_2O	0.67	1.02	0.19	0.18	0.31	0.01	0.00	0.00	
Sum	98.47	99.81	101.60	102.00	100.42	101.71	96.88	100.05	
F	0.26	0.12	0.27	0.00	0.24	0.19	0.00	0.00	
Cl	0.04	0.03	0.00	0.00	0.03	0.00	0.00	0.00	
(O)	23	23	8	8	6	6	5	3	
Si	6.57	6.56	2.47	2.58	1.86	1.97	1.00	0.00	
Al	1.33	1.77	1.52	1.41	0.28	0.02	0.06	0.00	
Fe^{3+}	0.00	0.72	0.00	0.00	0.05	0.07	0.06	0.00	
Fe^{2+}	1.64	0.97	0.00	0.00	0.37	0.13	0.04	0.65	
Ti	0.60	0.06	0.00	0.00	0.01	0.01	0.00	1.00	
Cr	0.02	0.02	0.00	0.00	0.00	0.00	0.93	0.00	
Mn	0.03	0.03	0.00	0.00	0.01	0.01	0.00	0.34	
Mg	2.61	2.85	0.00	0.00	0.86	0.84	0.00	0.00	
Ca	2.27	1.86	0.49	0.39	0.50	0.95	0.98	0.00	
Na	0.21	0.33	0.52	0.64	0.05	0.02	0.00	0.00	
K	0.13	0.18	0.01	0.01	0.01	0.00	0.00	0.00	
Sum	15.37	15.38	5.02	5.03	4.00	4.00	3.01	1.99	
Al^{IV}	1.29	1.44	-	-	0.14	0.02	0.00	-	
Al^{VI}	0.03	0.33	-	-	0.14	0.00	0.01	-	
$\text{Mg}/\text{Mg}+\text{Fe}^{3+}$	0.61	0.75	-	-	0.94	0.92	-	-	
$\text{Al}/\text{Al}+\text{Fe}^{3+}+\text{Cr}^{3+}$	0.98	0.71	-	-	0.85	0.22	-	-	
$(\text{K}+\text{Na})/\text{Ca}$	0.34	0.38	-	-	-	-	-	-	
$\text{Na}/\text{Na}+\text{Ca}$	0.08	0.14	0.51	0.62	0.09	0.02	0.00	-	
$\text{K}/\text{Ca}+\text{K}/\text{Na}$	0.05	0.08	0.01	0.01	0.02	0.00	0.00	-	
$\text{Ca}/\text{K}+\text{Na}/\text{Ca}$	0.87	0.78	0.50	0.38	0.89	0.98	1.00	-	



شکل ۲- ترکیب شیمی کانی‌های پلاژیوکلاز در سنگ‌های کوارتز-دیوریت تخت سلیمان.



شکل ۳- ترکیب کانی های آمفیبول تجزیه شده بر اساس طبقه بندی
.Leake et al. (1997)



شکل ۴- تعیین فوگاسیته اکسیژن ماقمای اولیه سنگ های کوارتز-دیوریت بر
اساس ترکیب شیمی کانی های کلینوپیرو کسن (Schweitzer et al., 1979).

جدول ۲- تعیین مقادیر کسر مولی و فعالیت ایده آل کانی ها برای محاسبات
ژرفاسنجی کلینوپیرو کسن.

Clinopyroxene activity-composition relationships (Wood, 1979)

Cation assignment (recalculated on the basis of six oxygens)

$$^{IV}Al=2-Si$$

$$X^{M1}Al=Al-^{IV}Al$$

$$X^{M2}Ca=Ca$$

$$X^{IV}Si=Si/2$$

$$X^{IV}Al=(2-Si)/2$$

$$a_{CaTs} Cpx=4.X^{M2}Ca.X^{M1}Al.X^{IV}Al.X^{IV}Si$$

Plagioclase activity-composition relationships (Holland and Powell, 1992)

$$X_{An}=Ca/(Ca+Na+K)$$

$$X_b=0.12+0.00038.T$$

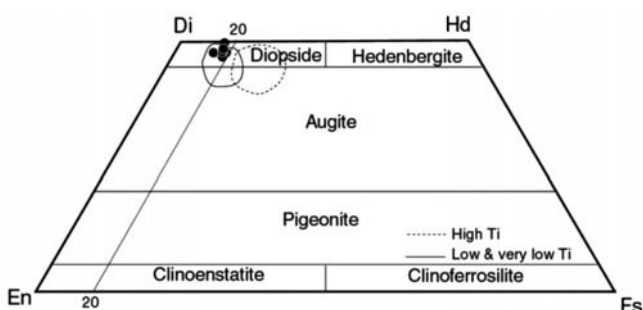
$$X_{An(2Tmodel)}=[X_{An}(1+X_{An})^2]/4$$

$$I_{An}=-RTLn(X_{An(2T)}/X_{An})-(W_c-W_i)91-X_b)2$$

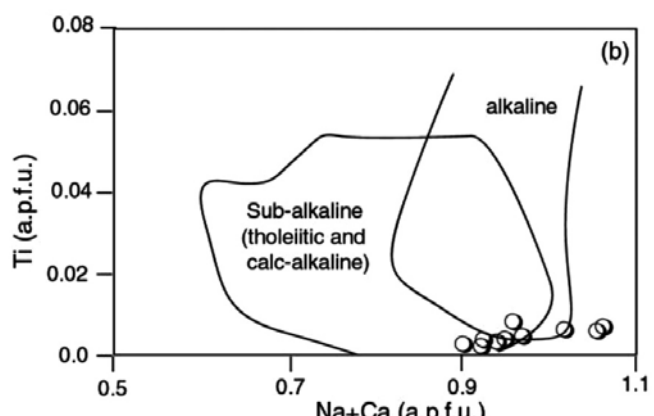
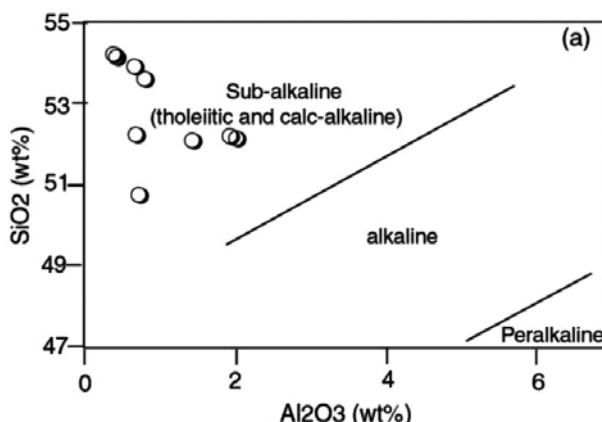
$$W_c=1070.0 \text{ J mol}^{-1}, W_i=9790.0 \text{ J mol}^{-1}$$

$$a_{An(2T)} p_i=X_{An(2T)} \exp\{1/RT[W_c(1-X_{An})^2+I_{An}]\}$$

T=temperature in K.



شکل ۵- ترکیب کانی های پیرو کسن در نمودار
.Morimoto et al., (1988)



شکل ۶- ویژگی نیمه قلیابی سنگ های کوارتز-دیوریت تخت سلیمان (a) نمودار SiO_2 (wt%) - Al_2O_3 (wt%). مرز جدا کننده بین ترکیب ماقمای قلیابی، نیمه قلیابی و فوق
.Leterrier et al. (1982) است. (b) نمودار Ti (a.p.f.u.) - $Na+Ca$ (a.p.f.u.) بر اساس Le Bas (1962) است.

کتابنگاری

- افتخارنژاد، ج.، ۱۳۵۹- طبقه بندی تکتونیکی ایران در ارتباط با حوضه‌های رسوبگذاری. مجله انجمن نفت ایران، شماره ۸۲، ۲۸-۱۹.
- بابا خانی، ع. ر. قلمقاش، ج.، ۱۳۷۱- نقشه زمین شناسی ۱/۱۰۰۰۰ تخت سلیمان. سازمان زمین شناسی ایران، تهران.
- حاجی علی اوغلی، ر.، ۱۳۸۶- بررسی پترولوزی سنگ‌های دگرگونی کالک-سیلیکات و متابازیک مجموعه تخت سلیمان در شمالشرق تکاب (غرب ایران). پایان‌نامه دکتری، دانشگاه تبریز، ۱۷۰ ص.
- حمدی، ب.، ۱۳۷۴- رسوبات پر کامبرین-کامبرین در ایران. هوشمند زاده، ع. (مؤلف) زمین شناسی ایران، سازمان زمین شناسی ایران، شماره ۲۰، ۵۳۵ ص.
- علوی، م.، حاجیان، ج.، عمیدی، م.، بلورچی، ح.، ۱۳۶۱- زمین شناسی چهارگوش تکاب-شاهین دژ. وزارت معادن و صنایع ایران، تهران، ۱۰۰ ص.
- لطفی، م.، ۱۳۸۰- نقشه زمین شناسی ۱/۱۰۰۰۰ تخت سلیمان. سازمان زمین شناسی ایران، تهران.
- نبوی، م. ح.، ۱۳۵۵- مقدمه‌ای بر زمین شناسی ایران. سازمان زمین شناسی ایران، ۱۰۹ ص.

References

- Alavi, M., 2004- Regional stratigraphy of the Zagros Fold-Thrust belt of Iran and its proforeland evolution. American Journal of Science. 304, 1–20.
- Blundy, J.D. and Holland, T.J.B., 1990- Calcic amphibole equilibria and a new amphibole plagioclase geothermometer. Contributions to Ineralogy and Petrology, 104, 208–224.
- Droop, G.T.R., 1987- A general equation for estimating Fe³⁺ concentrations in ferromagnesian silicates and oxides from microprobe analyses using stoichiometric criteria. Mineralogical Magazine, 51, 431–435.
- Gilg, H. A., Boni, M., Balassone, G., Allen, C. R., Banks, D. and Moore, F., 2006- Marble-hosted sulfide ores in the Angouran Zn-(Pb-Ag) deposit, NW Iran: interaction of sedimentary brines with a metamorphic core complex. Mineralum Deposita, 41, 1–16.
- Holland, T. and Powell, R., 1992- Plagioclase feldspars: activity-composition relations based upon Darken's quadratic formalism and Landau theory. American Mineralogist, 77, 53–61.
- Kretz, R., 1983- Symbols for rock-forming minerals. American Mineralogist, 68, 277–279.
- Le Bas, M.J., 1962- The role of aluminum in igneous clinopyroxenes with relation to their parentage. American Journal of Science, 260, 267–288.
- Leake, B.E., Wooley, A.R., Arps, C.E.S., Birch, W.D., Gilbert, M.C., Grice, J.D., Hawthorne, F.C., Kato, A., Kisch, H.J., Krivovichev, V.G., Linthout, K., Laird, Jo, Mandarino, J.A., Maresh, V.W., Nickel, E.H., Rock, N.M.S., Schumacher, J.C., Smith, D.C., Stephenson, N.N., Ungaretti, L., Whittaker, E.J.W. and Youzhi, G., 1997- Nomenclature of Amphiboles: report of the subcommittee on amphiboles of the International Mineralogical Association, commission on new minerals and mineral names. Canadian Mineralogist, 35 1, 219–246.
- Leterrie, J., Maury, C.R., Thonon, P., Girard, D. and Marchal, M., 1982- Clinopyroxene composition as a method of identification of the magmatic affinities of paleo-volcanic series. Earth and Planetary Science Letter, 59, 139–154.
- McCarthy, T. C. and Patiño Douce, A. E., 1998- Empirical calibration of the silica-Ca-tschermark's anorthite (SCAn) geobarometer. Journal of Metamorphic Geology, 16, 675–686.
- Moaazzen, M. and Droop, G. T. R., 2005- Application of mineral thermometers and barometers to granitoid igneous rocks: the Etive Complex, W Scotland. Mineralogy and Petrology, 83: 27-53.
- Morimoto, N., Fabries, J., Ferguson, A.K., Ginzburg, I.V., Ross, M., Seifert, F.A., Zussman, J., Aoki, K. and Gottardi, D., 1988-omenclature of pyroxenes. American Mineralogist, 62, 53–62.
- Naney, M.T., 1983- Phase equilibria of rock-forming ferromagnesian silicates in granitic systems. American Journal of Science, 283, 993–1033.
- Otten, M.T., 1984- The origin of brown hornblende in the Artfjället gabbro and dolerites. Contribution to Mineralogy and Petrology, 86, 189–199.
- Schweitzer, E. L., Papike, J.J. and Bence, A.E., 1979- Statical analysis of clinopyroxenes from deep-sea basalts. American Mineralogist 64, 501–513.
- Stockli, D.F., Hassanzadeh, J., Stockli, L.D., Axen, G., Walker, J.D. and Dewane, T.J., 2004-Structural and geochronological evidence for Oligo-Miocene intra-arc low-angle detachment faulting in the Takab-Zanjan area, NW Iran. Abstract, Programs Geological Society of America, 36, 319.
- Verhoogen, J., 1962- Distribution of titanium between silicates and oxides in igneous rocks. American Journal of Science, 260, 211-220.
- Vyhnal, C.R., McSween, H.Y. and Speer, J.A., 1991- Hornblende chemistry in southern Appalachian granitoids: implications for aluminum in hornblende thermobarometry and magmatic epidote stability. American Mineralogist, 6, 176–188.
- Whalen, J. B. and Chappell, B. W., 1988- Opaque mineralogy and mafic mineral chemistry of I- and S-type granites of the Lachlan fold belt, southeast Australia. American Mineralogist, 73, 281-296.
- Wood, B. J., 1979- Activity-composition relationships in Ca (Mg, Fe) Si₂O₆-CaAl₂SiO₆ clinopyroxene solid solutions. American Journal of Science, 279, 854–875.
- Wyllie, P. J. and Wolf, M. B. 1993- Amphibolite-dehydration melting: sorting out the solidus. In Magmatic processes and plate tectonics, H. M. Pritchard, T. Alabaster, N. B. W. Harris, and C. R. Neary, eds. p. 405-416. Geological Society Special Paper, 76, London.
- Zen, E. and Hammarstrom, J. M., 1984- Magmatic epidote and its petrologic significance: Geology, 12, 515-518.
- Zen, E. and Hammarstrom, J. M., 1988- Plumbing the depths of plutons by magmatic epidote-hornblende association: A cautionary reviews and example from the Round Valley pluton, western Idaho. Geological Society of American Abstracts with Programs 20, 475-476.

Mountains has high angle and thrusts Precambrian rocks, cored a large Hangingwall anticline, over the Tertiary rocks accommodate footwall synclines. This geometry constrains the fault as a deep-seated basement fault which has been developed through inversion of an initial normal fault. The Taleqan fault consequently is analyzed as a back thrust to the Mosha fault and the mountain as a pop up zone between them. Detail kinematic analysis of the Taleqan fault show two different reverse movement with right and left lateral components. Given that the fault located on the Mosha fault hangingwall, it has been analyzed that the former movement direction to be related to the Mosha fault inversion from Late Cretaceous while the latter movement direction is the consequence of left lateral transpression tectonics in the range since late Pliocene.

Key words:Taleqan mountains, Central Alborz, Inversion Tectonic, Transpression Tectonics

For Persian Version see pages 127 to 134

Email: yassaghi@modares.ac.ir

The Study and Survey of Cranium and Maxillary of *Hipparium primigenium*

By: A.H. Kokabi Nezhad * , Z. Purabrihami **, Kh. Tehrani *

* Islamic Azad University, Science & Research Campus, Tehran, Iran

** Islamic Azad University, Tabriz Branch, Tabriz, Iran

Received: 2008 October 19

Accepted: 2009 January 12

Abstract

One of Hipparium species which has complete characters of cranium and maxillary with teeth found during excavation is *H. primignum*. Since this sample is the only complete one in the world, (of course without mandible) with special species characters we can call it Homeotype. Because of finding this species, pyroclastic sediments of Maragheh would be dated upper Astracian, so Maragheh informal formation which in the past was thought to be as old as vallencian- Trulain, seems a bit older.Because the mentioned samples were also found in Samus and Pikermi in Greece, so we can say these two regions have vertebrate familiarities in fossils fauna and other characters like paleogeography, biochronology and biogeography in late Miocene- early Pliocene.

Key words: Hipparium , *Hipparium primigenium*, Pyroclastic, , Miocene, Pliocene, Homeotype

For Persian Version see pages 135 to 138

E-mail: amir_kokabi@yahoo.com

Mineral Chemistry and Crystallization Pressure and Temperature of the Quartz-Diorites from the Takht-e-Soleyman Area, NW Iran

By: R. Hajialioghi *, A. Jahangiri *, M. Moazzen*, G.T.R. Droop ** & R. Bousquet ***

* Department of Geology, Faculty of Natural Sciences, University of Tabriz, Tabriz, Iran

**School of Earth, Atmospheric and Environmental Sciences, University of Manchester, Manchester, British U. K.

*** Institut für Geowissenschaften, Universität Potsdam, Potsdam, Germany

Received: 2007 May 11

Accepted: 2008 January 22

Abstract

The igneous rocks of Takht-e-Soleyman area in the north western Iran crop out in association with the amphibolites. The contact between igneous rocks and amphibolites is sharp. Igneous rocks in the study area are mainly granodiorite, quartz-monzdiorite and quartz-diorite. Plagioclase and hornblende form dominant minerals of the igneous rocks. Titanite and epidote occur in rare amounts. Chemical compositions

of the clinopyroxene, plagioclase, hornblende and titanite in quartz-diorites were analysed using EPMA. High Mg and Si contents accompanied by low Ti at the rim composition of the analysed amphiboles can be attributed to subsolidus cooling event. Magmatic crystallisation temperature for quartz-diorites is determined based on compositions of hornblende and coexisting plagioclase. Clinopyroxene composition was used to estimate crystallization pressure of the investigated rocks in the Takab area. Estimated temperature and pressure are consistent with $820 \pm 75^\circ\text{C}$ and 8 kbar, respectively. Thermometry based on Ti content of the analysed hornblende gives temperature of 760°C . On the basis of chemical compositions of the analysed clinopyroxenes, sub-alkaline and I-type natures of the quartz-diorites in the study area can be concluded.

Key words: Takht-e-Soleyman complex, Diorite, Magma composition, Mineral chemistry, Thermobarometry.

For Persian Version see pages 139 to 144

E-mail: r_hajalioghli@yahoo.co.uk

Investigation on Controlling Factors of the Distribution of Trace-Elements (including REE) during Bauxitization Processes at Kanisheeteh, East of Bukan, NW Iran

By: A. Abedini* & A. A. Calagari**

*Geology Department, Faculty of Sciences, Urmia University, Urmia, Iran

**Geology Department, Faculty of Natural Sciences, Tabriz University, Tabriz, Iran

Received: 2007 April 23 Accepted: 2008 February 23

Abstract

Karstic bauxite horizon at Kanisheeteh is located ~19km east of Bukan, south of West-Azrbaidjan province, NW of Iran. This horizon lies conformably along the boundary of Ruteh (carbonate-shale) formation (middle to upper Permian) and Elika (carbonate) formation (lower Triassic), and consists of five distinct lithic units. Field evidence, petrographical and mineralogical examinations showed that fluctuations of climatic conditions along with structural stresses had a great influence in the formation of this horizon. Distribution pattern of REE (normalized to chondrite) indicates an intensive fractionation and enrichment of LREE over HREE, and an authigenic formation for the horizon. Calculations of absolute weathering index (AWI) and assumption of Nb as an immobile element and the upper continental crust (UCC) as a source for parent materials show that leaching and fixation processes are the two major regulators in concentrating of trace-elements in this horizon. Geochemical investigations indicate that distribution of Al, Fe, Si had great influence in changes of La/Y ratio, distribution of trace-elements in residual system, and Eu anomaly. Incorporation of the obtained results revealed that textural variations, preferential adsorption by metallic oxides (hematite), buffering of weathering solutions by carbonate bedrock, mineralogical control, and pH changes of the environment are the most important controlling factors in the distribution of LREE, HREE, HFSE, LILE and TTE during lateritization processes at Kanisheeteh.

Keywords: Karstic bauxite, Absolute weathering index, Trace-elements, Kanisheeteh, Bukan

For Persian Version see pages 145 to 154

E-mail: abedini2020@yahoo.com